曲げを受ける CFRP 板接着鋼部材の力学特性

大阪大学大学院 学生員 〇西田 大阪大学大学院 正会員 敏之 大阪大学大学院 正会員 大倉 一郎

1. はじめに

近年,疲労や腐食による損傷が多くの既設橋に発生している.損傷した鋼部材の補修・補強に対して,軽量 で現場施工性の良い炭素繊維強化樹脂板(以下, CFRP 板と呼ぶ)の適用が有効であると考えられる.しかし, 曲げを受ける鋼部材に剛性の大きな CFRP 板を接着すると、CFRP 板端部の接着剤に生じるせん断応力と垂直 応力が大きくなるため、CFRP 板が鋼部材からはく離することが懸念される. そこで、本研究では、CFRP 板 が接着された曲げを受ける鋼部材の力学特性について調べる. 鋼部材

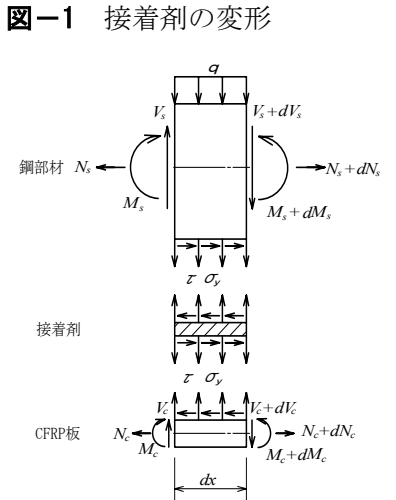
2. 微分方程式の誘導

図-1 に示す、CFRP 板と鋼部材との間の接着剤の変形に対し て、接着剤に生じるせん断応力 τ と垂直応力 σ $_{v}$ をそれぞれ次式 で仮定する.

$$\tau = G_a \frac{u_c - u_s}{t_a} \tag{1}$$

$$\sigma_y = E_a \frac{v_c - v_s}{t_a}$$

ここに、 G_a と E_a : それぞれ、接着剤のせん断弾性係数とヤング係数、 u_c と u_s : それぞれ, CFRP 板と鋼部材の水平方向変位, v_c と v_s : それぞれ, CFRP 板と鋼部材の鉛直方向変位, t_a :接着剤の厚さ. $\mathbf{Z}-\mathbf{Z}$ に示す微小区間 dx の 力およびモーメントのつりあい,ならびに式(1)と(2)より, CFRP板の軸力 N_c とせん断力 V_c に関して、次の微分方程式をそれぞれ得る $^{1,2)}$.



それぞれ、鋼部材と CFRP 板の断面 2 次半径、 b_a :接着剤の幅、M: CFRP

板接着鋼部材全体に作用する曲げ一メント,Q: CFRP 板接着鋼部材全体に作用するせん断力, $\Delta: CFRP$ 板

と鋼部材の温度変化によるひずみ差. 他の記号について

は図-3参照.

3. 微分方程式の解

 $M = M_0$ (一定)の場合、式(3)より CFRP 板の軸力 N_c が 次式で与えられる.

鋼部材 $E_s A_s r_s$ 接着剤 $E_a G_a$ CFRP板 $E_c A_c r_c$

 $u_c - u_s$

図-3 曲げを受ける CFRP 板接着鋼部材

式(5)を式(4)に代入し、その式を解いて CFRP 板のせん断力 V_c が次式で与えられる.

$$\frac{V_c}{\sigma_{sn}} = K_1 K_2 A_s \frac{r_s}{a} \frac{r_s}{d_s} \left[e^{-\beta x} \tanh(cl) \left\{ -\cos(\beta x) + \sin(\beta x) \right\} - \sinh(cx) + \tanh(cl) \cosh(cx) \right] + e^{-\beta x} f_1 \sin(\beta x)$$
(6)

ここに, $K_2 = \frac{J}{c^3 \{1+4(\beta/c)^4\}}$, $f_1 = \frac{1}{2\beta^3} \left(\frac{b_a E_a}{t_a} \frac{1}{E_s d_s} + c^3 K_1 K_2 A_s \frac{r_s}{a} \frac{r_s}{d_s} \right)$, σ_{sn} : CFRP 板が接着されていない位置の鋼部

キーワード CFRP 板,鋼部材,補修・補強,曲げ,接着剤

連絡先: 〒565-0871 吹田市山田丘 2-1 大阪大学大学院工学研究科地球総合工学専攻 TEL06-6879-7618

4. 鋼部材下面の応力

鋼部材下面の応力は次式で与えられる.

$$\sigma_s = \frac{N_s}{A_s} + \frac{M_s}{A_s r_s^2} d_s \tag{7}$$

ここに、 N_s と M_s : それぞれ、鋼部材に生じる軸力と曲げモーメント.

N、およびM、はそれぞれ次式で与えられる.

$$N_{s} = -N_{c}$$

$$M_{s} = \frac{E_{c}I_{c}}{Z_{1}} \left(\frac{t_{a}}{b_{c}E_{a}} \frac{d^{3}V_{c}}{dx^{3}} - \frac{M_{0} - N_{c}a}{E_{c}I_{c}} \right)$$
(9)

式(7)に式(8)と(9)を代入して、CFRP 板中央の鋼部材下面の応力低下率 σ_s/σ_{sn} が次式で与えられる.

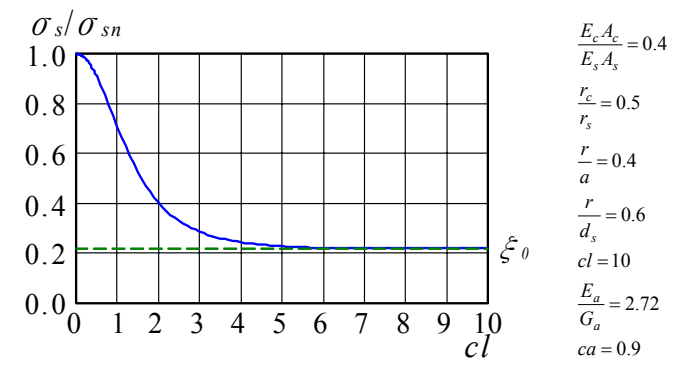


図-4 CFRP 板中央の σ_s/σ_{sn} とcl の関係

$$\frac{\sigma_{s}}{\sigma_{sn}} = \frac{1}{Z_{1}} - f_{2} \left\{ 1 - \frac{1}{\cosh(cl)} \right\} + f_{3} \left[-\frac{1}{\cosh(cl)} + e^{-\beta l} \left\{ 4 \left(\frac{\beta}{c} \right)^{3} \tanh(cl) \sin(\beta l) + \cos(\beta l) + \sin(\beta l) \right\} \right] + e^{-\beta l} \left\{ \cos(\beta l) + \sin(\beta l) \right\} \frac{1 - Z_{1}}{Z_{1}}$$

$$(10)$$

$$= C \cdot C, \quad f_{2} = \left(\frac{r_{s}}{a} \frac{r_{s}}{d_{s}} + \frac{1}{Z_{1}} \right) K_{1}, \quad f_{3} = \frac{E_{c} A_{c} r_{c}^{2}}{Z_{1}} \frac{t_{a}}{b_{a} E_{a}} cHK_{2}.$$

式(10)から算出される CFRP 板中央の σ_s/σ_{sn} と cl の関係を**図ー4** に示す。この図から分かるように、CFRP 板中央の σ_s/σ_{sn} は cl が大きくなるに従って、 $\xi_0 (=1/Z_1-f_1)$ まで低下する。 ξ_0 は、鋼部材と CFRP 板が完全合成された場合に対する σ_s/σ_{sn} の値である。

5 端部せん断応力と端部垂直応力

接着剤に生じるせん断応力 τ と垂直応力 σ 、はそれぞれ次式で与えられる.

$$\tau = \frac{1}{b_a} \frac{dN_c}{dx} \tag{11}$$

$$\sigma_y = \frac{1}{b_a} \frac{dV_c}{dx}$$

CFRP 板付着端の接着剤に生じるせん断応力 τ_e と垂直応力 σ_{ye} は式(11)に式(5)を、式(12)に式(6)を代入し、x=0 とおいて、それぞれ次式で与えられる.

$$\tau_e = cK_1 \frac{A_s}{b_a} \frac{r_s}{a} \frac{r_s}{d_s} \tanh(cl)\sigma_{sn} \quad (13) \qquad \sigma_{ye} = \beta \frac{A_s}{b_a} \frac{r_s}{d_s} \frac{r_s}{d_s} \left[K_1 K_2 \left[-\frac{c}{\beta} + 2 \tanh(cl) + \frac{1}{2} \left(\frac{c}{\beta} \right)^3 \right] + 2ca \frac{\beta}{c} \frac{Z_1 - 1}{Z_1} \right] \sigma_{sn} \quad (14)$$

cl が大きくなると $tanh(cl) \approx 1$ となるため、 τ_e と σ_{ve} はそれぞれ次式となる.

$$\tau_e = cK_1 \frac{A_s}{b_a} \frac{r_s}{a} \frac{r_s}{d_s} \sigma_{sn}$$

$$\sigma_{ye} = \beta \frac{A_s}{b_a} \frac{r_s}{d_s} \frac{r_s}{a} \left[K_1 K_2 \left[2 - \frac{c}{\beta} + \frac{1}{2} \left(\frac{c}{\beta} \right)^3 \right] + 2ca \frac{\beta}{c} \frac{Z_1 - 1}{Z_1} \sigma_{sn}$$

$$(16)$$

式(15)および式(16)から算出される $\tau_e/(\sigma_{sn}cA_s/b_a)$ および $\sigma_{ye}/(\sigma_{sn}cA_s/b_a)$ と $E_cA_c/(E_sA_s)$ の関係を**図-5**に示す.

この図から分かるように、 τ_e と σ_{ye} は同程度の値を示している。したがって、 τ_e のみならず σ_{ye} も CFRP 板端部のはく離挙動に影響を与えると考えられる。

参考文献

- 1) S.T. Smith and J.G. Teng: Interfacial stresses in plated beams, Engineering Structures, Vol.23, pp.857-871, 2001.
- Jun Deng, Marcus M.K. Lee and Stuart S.J. Moy: Stress analysis of steel beams reinforced with a bonded CFRP plate, Composite Structures, Vol.65, pp.205-215, 2004.

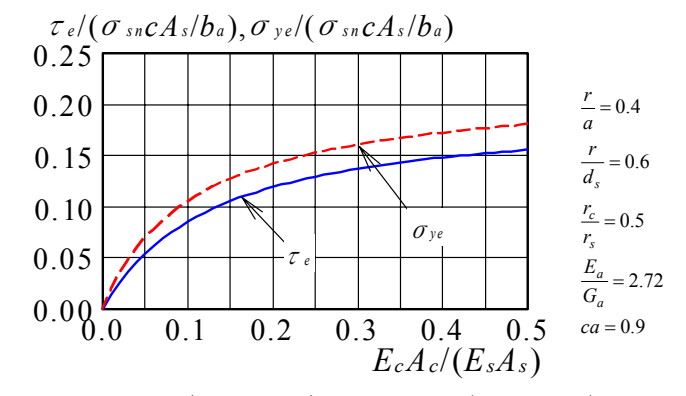


図-5 $au_e/(\sigma_{sn}cA_s/b_a)$ および $\sigma_{ye}/(\sigma_{sn}cA_s/b_a)$ と $E_cA_c/(E_sA_s)$ の関係